

L'irraggiamento - Il corpo nero

Lo scambio termico per irraggiamento è reso possibile dalle onde elettromagnetiche, caratterizzate da lunghezza d'onda λ e frequenza f .
 Le due grandezze sono legate da una costante c , la velocità della luce:

$$\lambda = \frac{c}{f}$$

L'energia delle radiazioni elettromagnetiche è data da:

$$e = h f = \frac{h \cdot c}{\lambda^2}$$

Con $h = 6,625 \cdot 10^{-34} \text{ J}$, costante di Planck.

Il vario della lunghezza d'onda si distingue in vari tipi di onde elettromagnetiche. Un tipo è quello delle radiazioni termiche, che comprende la radiazione visibile, l'infrarosso e un po' di ultravioletto. Questo è allora il campo di nostro interesse.

Tutti i corpi emettono energia termica per irraggiamento. Esistono superfici bianche che la riflettono interamente e superfici nere che le assorbono completamente. Stesso parlano di superfici, non di corpi, di cui parleremo ora.

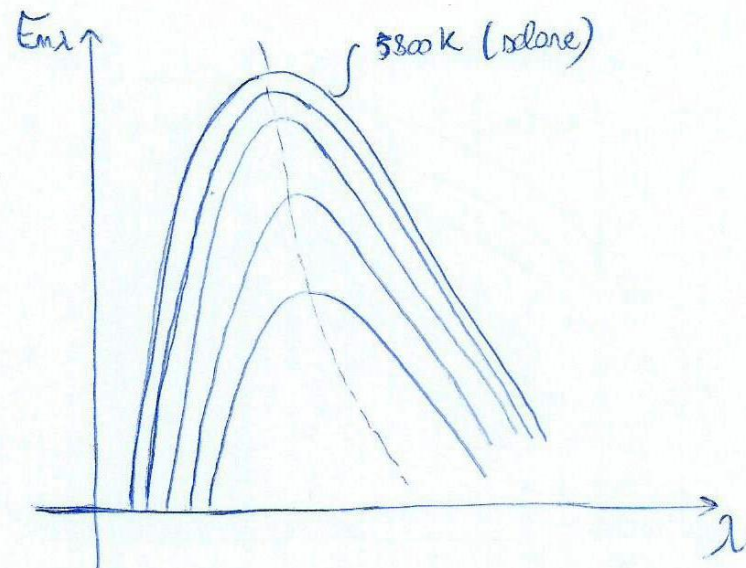
Definiamo il corpo nero. È un corpo caratterizzato da una superficie che a una certa T e per una certa λ emette ed assorbe il massimo delle radiazioni termiche. È diverso delle superfici nere: il corpo riflette e assorbe, la superficie assorbe e basta. Non si può dunque giudicare se un corpo è nero sulla base della sola osservazione visiva. La superficie del corpo nero è detta nera, come con eccezione diverse da quelle che abbiamo definito prima. Nella realtà i corpi hanno un comportamento solo prossimo a quelli del corpo nero. L'esistenza del corpo nero è un concetto del Principio.

Il potere emissivo totale del corpo nero è dato dalla legge di Stefan-Boltzmann, $E_n = \sigma T^4 \left[\frac{W}{m^2} \right]$, con $\sigma = 5,67 \cdot 10^{-8} \frac{W}{m^2 K^4}$ costante di Stefan-Boltzmann. Spesso è più utile usare il potere emissivo monochromatico, cioè la potenza radente emessa dal corpo nero alle temperature assolute per unità di area superficiale e per unità di lunghezza d'onda nell'intorno della lunghezza d'onda λ .

In altre parole è l'energia radiente emessa da un corpo nero per unità di superficie e per unità di tempo nell'intervento di lunghezze d'onda contenuto tra λ e $\lambda + d\lambda$. Si indica con $E_{\lambda}(t, T)$ e si calcola con l'equazione di Planck:

$$E_{\lambda}(t, T) = \frac{C_1}{T^5 \cdot (e^{\frac{C_2}{\lambda T}} - 1)} \left[\frac{W}{m^2 \cdot m^2 \cdot \mu m} \right]$$

Graficamente:



- A 5800 K si ha lo spettro solare con massimo per $\lambda_{max} = 0,48 \mu m$ nello spettro del visibile (sole verde). L'occhio umano è ottimizzato per le lunghezze d'onda prossime a tale valore.

L'equazione di Wien ci dà la lunghezza d'onda alle quale si verifica il picco delle curve per una certa temperatura:

$$\lambda_{max} \cdot T = 2898 \mu m \cdot K$$

- Usando tale equazione si nota che i corpi emettono luce visibile (all'occhio umano) solo per temperature molto elevate. A 298 K non hanno emissione nel campo dell'infrarosso. Quindi come è possibile vedere gli oggetti di un certo colore se alle temperature ambiente essi non emettono luce visibile? Grazie al trasbordamento alle riflessioni! Le foglie appaiono verdi poiché assorbono tutta la luce e riflettono quella verde.

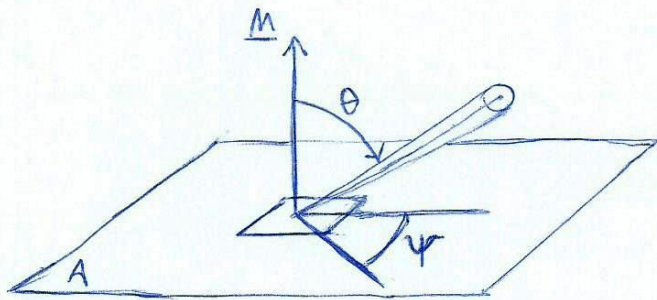
Il potere emissivo totale del corpo nero è dato dall'integrale del potere emissivo monochromatico di corpo nero $E_m(T)$:

$$E_m(T) = \int_0^{\infty} E_m(\lambda, T) d\lambda \Rightarrow E_m(T) = \frac{q}{A} = \sigma T^4$$

Nelle leggi di Planck $C_1 = 2\pi h c^2 = 3,742 \cdot 10^{-5} \frac{W}{m^2 \mu m^3}$ e $C_2 = \frac{h \cdot c}{k} = 1,439 \cdot 10^5 \mu m \cdot K$.
Inoltre $k = 1,3805 \cdot 10^{-23} \frac{J}{K}$, costante di Boltzmann.

Grandezze fisiche dell'immagazzinamento e coefficienti E , α , ρ e σ

Introduciamo l'intensità di radiazione I . Tutte le superfici a T maggiore di $0K$ emettono radiazione con una certa intensità:



$$I = \frac{dq}{dA \cdot dw \cos\theta}$$

$$I = I(\theta, \psi) = I(\theta)$$

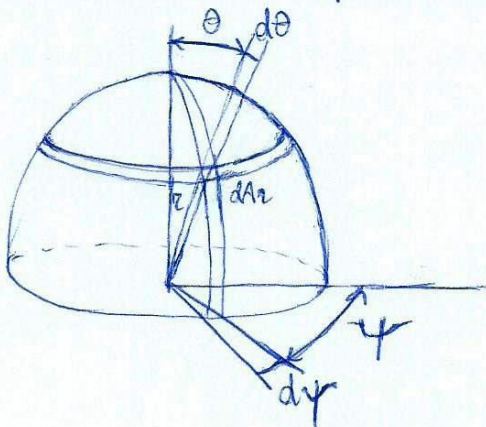
Per superficie nera:

$$I = \text{cost} = I_m$$

Sempre per le superfici nere vale l'equazione di Lambert (superficie perfettamente diffuse):

$$dq = I_m \cdot \cos\theta \cdot dA \cdot dw$$

Possiamo avere anche un'altra emissività:



$$dw = \frac{dAr}{r^2} = \frac{r d\theta \cdot r \sin\theta d\psi}{r^2} = \sin\theta d\theta d\psi$$

$$\Rightarrow E_m = \frac{q}{A} = I_m \int_0^{2\pi} d\psi \int_{\pi/2}^{\pi} \cos\theta \sin\theta d\theta = \pi I_m$$

$$\Rightarrow E_m = \pi I_m \Rightarrow I_m = \frac{E_m}{\pi}$$

La superficie nera è il riferimento per quelle reali (grigie, in parte, colorate). Introduciamo allora l'emissività monochromatica, cioè il rapporto tra la radiazione emessa dalle superficie e le radiazioni emesse dal corpo nero alle stesse temperature:

$$\varepsilon(\lambda, T) = \frac{E_\lambda(T)}{E_\lambda(T)}$$

Per la sua stessa definizione $0 \leq \varepsilon_\lambda \leq 1$. Si può anche definire quella totale, $\varepsilon(T) = \frac{E(T)}{C^2 T^4}$. Per corpo nero $\varepsilon_\lambda = 1$ e $\varepsilon = 1$.

Si può anche definire la quota per cento di energia radente incidente assorbita rispetto a quella assorbita dal corpo nero, cioè l'assorbiibilità (monochromatica):

$$\alpha_\lambda = \frac{\text{rad. assorb}}{\text{rad. incid}} = \frac{G_{\lambda, \text{ass}}}{G_{\lambda, \text{inc}}}$$

Il corpo nero assorbe tutta l'energia incidente, quindi anche in questo caso $0 \leq \alpha_\lambda \leq 1$. L'assorbiibilità totale è $\alpha = \frac{G_{\text{ass}}}{G_{\text{inc}}}$. Per corpo nero $\alpha = 1$ e $\alpha = 1$.

Si ha per il coefficiente di riflessione monochromatica:

$$\rho_1 = \frac{q_{21}}{q_{11}}$$

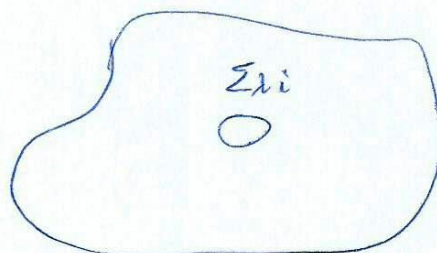
In fine c'è pure il coefficiente di trasmissione monochromatica:

$$\tau_2 = \frac{q_{12}}{q_{11}}$$

Per corpo nero $\Sigma_1 = 1$ e $\alpha_1 = 1$. Per corpo grigio una parte dell'energia viene riflessa, un'altra assorbita e un'altra viene trasmessa. Comunque $0 \leq \rho_1 \leq 1$ e $0 \leq \tau_2 \leq 1$, essendo tutti tali coefficienti rapporto tra un valore variabile tra zero e un massimo e il massimo stesso (della superficie nera).

Tuttavia, mentre Σ si riferisce alle radiazioni emesse dal corpo per il suo "comportamento" termico, α , ρ e τ si riferiscono alle radiazioni provenienti dall'esterno che colpisce un corpo.

Cioè giustifica il fatto che si abbia per corpo nero $\Sigma_1 = \alpha_1 = 1$ e che per corpo grigio (cioè per $0 \leq \Sigma_1 < 1$ e $0 < \alpha_1 < 1$) la validità di tale equazione persista: $\Sigma_1 = \alpha_1$. Cioè per la legge di Kirchhoff. Dimosso una dimostrazione plausibile considerando una cambia che si comporta come superficie nera e nelle quali inseriamo due corpi, due grigie uno nero. Si ha:



$$\Sigma_{11} = \Sigma_{11} \cdot \Gamma_{1111}$$

$$\Gamma_{112} = \Sigma_{12} \cdot \Gamma_{1122}$$

$$\Gamma_{113} = \Sigma_{13} \cdot \Gamma_{1133} = 1 \cdot \Gamma_{1133} = \Gamma_{113}$$

Per il corpo nero la radiazione emessa uguaglia l'irradiazione cui è soggetto.

Invece per i corpi grigi:

$$\Gamma_{112} \cdot \alpha_{12} = \Sigma_{12}$$

$$\text{e } \Gamma_{113} \cdot \alpha_{13} = \Sigma_{13}$$

Si ottengono allora:

$$\Sigma_{12} \cdot \Gamma_{1121} = \alpha_{12} \cdot \Gamma_{112}$$

$$\Rightarrow \Sigma_{12} = \alpha_{12}$$

(analogo $\Sigma_{13} = \alpha_{13}$)

per corpo grigio

$$\Gamma_{113} = \Gamma_{113}$$

$$\Sigma_{13} = \alpha_{13} = 1$$

per corpo nero

Infatti i corpi sono in equilibrio con le cambia, cioè le potenze termiche scambiate deve essere nulla (radiazione emessa uguale a quelle assorbite). Cioè per una certa t .

Ossiamo:

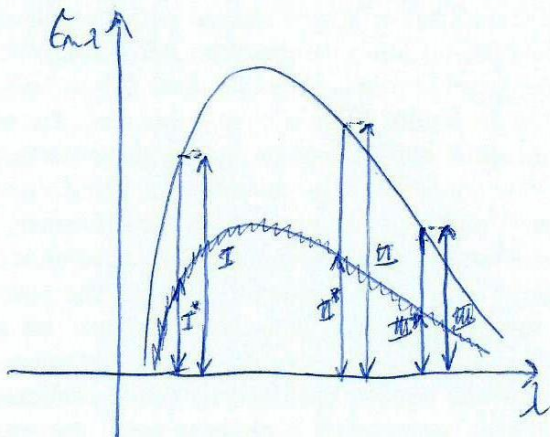
$$E(T) = \frac{\int_0^\infty E_1(l, T) \cdot E_{m1}(l, T) dl}{\int_0^\infty E_{m1}(l, T) dl} \quad \text{emissione totale}$$

$$\alpha(T^*) = \frac{\int_0^\infty \alpha(l^*, T^*) \cdot G_1(l^*, T^*) dl}{\int_0^\infty G_1(l^*, T^*) dl} \quad \text{assorbimento totale}$$

Mentre $E_1 = \alpha_1$ nel caso monodimensionale, non è vero, in generale, che $E(T) = \alpha(T)$. Per poter dire ciò devono valere le due condizioni seguenti:

- $E_1 = \text{cost} = E_1(T)$, cioè n'abito corpo grigio. È un corpo che alla superficie, per ogni lunghezza d'onda, emette una fascia, la cui costante di emissione radiante emessa dal corpo nero.
- $G_1(l, T^*) = E_{m1}(l, T^*)$: cioè n'abito equilibrio termico.

Graficamente:

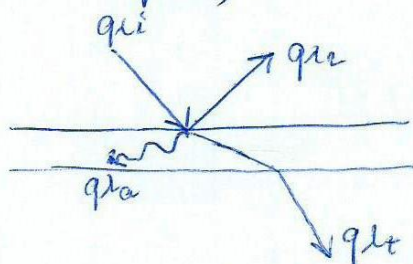


$$\frac{I}{I^*} = \frac{\pi}{\pi^*} = \frac{M}{M^*}$$

m : superficie nera a T_x .

- $G_1(l, T^*) = E_{m1}(l, T^*)$: cioè n'abito equilibrio termico. È una condizione utile fisicamente, ma non operativa, perché non ci può essere scambio di calore.

Consideriamo la radiazione esterna che si divide in riflessa, assorbita e trasmessa (cioè quella che attraversa il corpo se esso non è opaco):



$$q_{1e} = q_{1r} + q_{1a} + q_{1t} \quad / \cdot \frac{1}{q_{1e}}$$
$$1 = \frac{q_{1r}}{q_{1e}} + \frac{q_{1a}}{q_{1e}} + \frac{q_{1t}}{q_{1e}}$$

$$\Rightarrow 1 = \rho_1 + \alpha_1 + \gamma_1$$

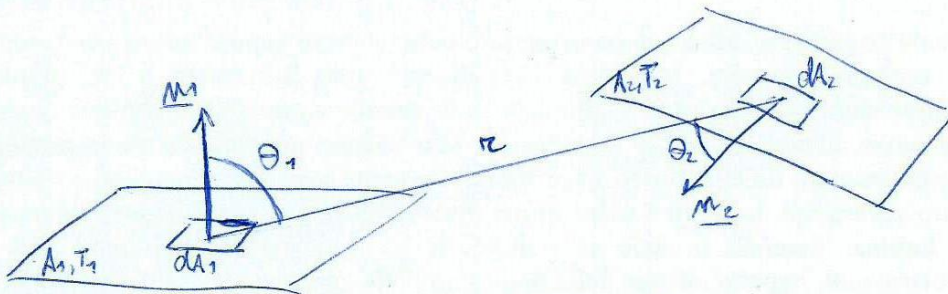
Si hanno allora $1 = \rho_1 + \alpha_1 + \gamma_1 = \rho_1 + E_1 + \gamma_1$ che divergono, per corpo opaco ($\gamma_1 = 0$):

$$\rho_1 + \alpha_1 = 1$$

$$\rho_1 + E_1 = 1$$

I fattori di vista per il corpo nero

Negliamo a questo punto studiare l'interagimento tra due superfici. A tale scopo introdurremo un piano geometrico detto **lettore di vista** (vista per superficie nera).



Il fattore di vista $F_{1,2}$ della superficie 1 rispetto alla superficie 2 è la frazione di energia radiante che lascia la superficie 1 e incide la superficie 2. Viceversa per $F_{2,1}$.

Vece il teorema di reciprocità:

$$A_1 \cdot F_{1,2} = A_2 \cdot F_{2,1}$$

Per superfici nere con $T_1 = T_2$:

$$q_{1 \rightarrow 2} = A_1 \cdot F_{1,2} \cdot E_{m_1} \quad \text{e} \quad q_{2 \rightarrow 1} = A_2 \cdot F_{2,1} \cdot E_{m_2}$$

$$\Rightarrow q_{1 \rightarrow 2} = A_1 \cdot F_{1,2} \cdot E_{m_1} - A_2 \cdot F_{2,1} \cdot E_{m_2} = (A_1 \cdot F_{1,2} - A_2 \cdot F_{2,1}) \cdot E_m = 0$$

Infatti, se $T_1 = T_2 \Rightarrow q_{1 \rightarrow 2} = 0$ e $E_{m_1} = E_{m_2} = E_m$. Scavennando $E_m > 0$ ($E_m = 0 \Leftrightarrow T = 0K$). Allora le sere si dà da:

$$A_1 \cdot F_{1,2} - A_2 \cdot F_{2,1} = 0 \Leftrightarrow A_1 \cdot F_{1,2} = A_2 \cdot F_{2,1}$$

Ora abbiamo dimostrato il teorema di reciprocità.

Proseguiamo con i dq's:

$$dq_{1 \rightarrow 2} = I_{m_1} \cdot \cos\theta_1 \cdot dA_1 \cdot dA_2 \text{ con } dA_1 = \frac{dA_2 \cdot \cos\theta_2}{\pi r^2}, \quad I_{m_1} = \frac{E_{m_1}}{\pi}$$

$$\Rightarrow dq_{1 \rightarrow 2} = \frac{E_{m_1}}{\pi r^2} \cdot \cos\theta_1 \cdot \cos\theta_2 \cdot dA_1 \cdot dA_2$$

$$dq_{2 \rightarrow 1} = I_{m_2} \cdot \cos\theta_2 \cdot dA_2 \cdot dA_1 \text{ con } dA_2 = \frac{dA_1 \cdot \cos\theta_1}{\pi r^2}, \quad I_{m_2} = \frac{E_{m_2}}{\pi}$$

$$\Rightarrow dq_{2 \rightarrow 1} = \frac{E_{m_2}}{\pi r^2} \cdot \cos\theta_2 \cdot \cos\theta_1 \cdot dA_2 \cdot dA_1$$

Quindi:

$$dq_{1 \rightarrow 2} = \frac{E_{m_1}}{\pi r^2} \cdot \cos\theta_1 \cdot \cos\theta_2 \cdot dA_1 \cdot dA_2 - \frac{E_{m_2}}{\pi r^2} \cdot \cos\theta_2 \cdot \cos\theta_1 \cdot dA_2 \cdot dA_1$$

Integriamo:

$$q_{1 \rightarrow 2} = \int_{A_1} \int_{A_2} \frac{E_{m_1} - E_{m_2}}{\pi r^2} \cdot \cos\theta_1 \cdot \cos\theta_2 \cdot dA_1 \cdot dA_2 = (E_{m_1} - E_{m_2}) \int_{A_1} \int_{A_2} \frac{\cos\theta_1 \cdot \cos\theta_2 \cdot dA_1 \cdot dA_2}{\pi r^2}$$

Ma avremo scoperto che $q_{1 \rightarrow 2} = A_1 \cdot F_{1,2} \cdot E_{m_1} - A_2 \cdot F_{2,1} \cdot E_{m_2} = A_1 \cdot F_{1,2} \cdot (E_{m_1} - E_{m_2})$ per reciprocità. Quindi $A_1 \cdot F_{1,2}$ ha lo stesso ruolo dell'integrale doppio:

$$A_1 \cdot F_{1,2} = A_2 \cdot F_{2,1} = \int_{A_1} \int_{A_2} \frac{\cos\theta_1 \cdot \cos\theta_2 \cdot dA_1 \cdot dA_2}{\pi r^2}$$

Scambio termico radiativo tra superficie grigie

Consideriamo:

$$A_i F_{ij} = A_j F_{ji}$$

$$\sum_{j=1}^N F_{ij} = 1$$

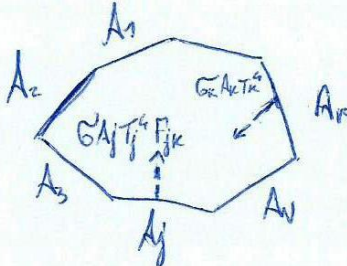
$$F_{ii} = 0$$

piana e
convessa

$$F_{ii} > 0$$

concava

Esiste dunque anche il fattore di risata di una superficie verso se stessa!
Prendiamo una serie di superfici:



$$q_u = G A_k T_k^4 - \sum_{j=1}^N G A_j F_{jk} \cdot T_j^4$$

Per reciproco:

$$\begin{aligned} q_k &= G A_k T_k^4 - \sum_{j=1}^N G A_k F_{kj} T_j^4 = \\ &= G A_k T_k^4 \cdot \sum_{j=1}^N F_{kj} - \sum_{j=1}^N G A_k F_{kj} T_j^4 = \\ &= G A_k \sum_{j=1}^N (T_k^4 F_{kj} - T_j^4 F_{kj}) = \\ &= G A_k \sum_{j=1}^N (T_k^4 - T_j^4) F_{kj} \end{aligned}$$

Dobbiamo calcolare un numero di fattori di risata pari a:

$$N^2 - N - \frac{N(N-1)}{2} = \frac{2N^2 - 2N - N^2 + N}{2} = \frac{N(N-1)}{2}$$

Per superficie grigie e opache ($\rho_i = 1 - \varepsilon_i$):

G_i è l'irradiazione, J_i la radiorisata:

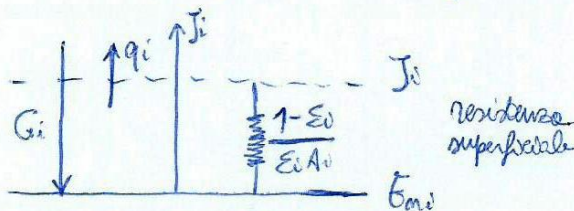
$$J_i = G_i \cdot \rho_i + E_{mi} \cdot \varepsilon_i$$

$$\Rightarrow G_i = J_i - E_{mi} \varepsilon_i = \frac{J_i - E_{mi} \varepsilon_i}{\rho_i} = \frac{J_i - E_{mi} \varepsilon_i}{1 - \varepsilon_i}$$

Il flusso è dato dalle differenze tra radiorisata totale (emessa + riflessa, radiorisata) e quella emessa (E_i, ε_i):

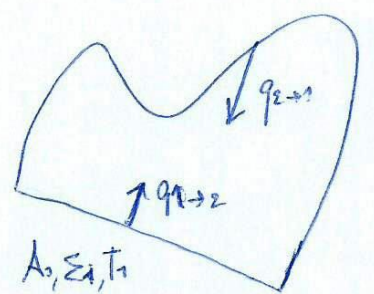
$$\begin{aligned} Q_i &= A_i (J_i - G_i) = A_i \left(J_i - \frac{J_i - E_{mi} \varepsilon_i}{1 - \varepsilon_i} \right) = A_i \cdot \frac{J_i - J_i \varepsilon_i - J_i + E_{mi} \varepsilon_i}{1 - \varepsilon_i} = \\ &= \frac{A_i \varepsilon_i (E_{mi} - J_i)}{1 - \varepsilon_i} = \frac{E_{mi} - J_i}{\frac{1 - \varepsilon_i}{\varepsilon_i A_i}} \end{aligned}$$

È come se ci fosse una differenza di potenziale:



Some analogie
elettriche!

Il caso più semplice è quello tra due superficie (cavità vuote):



A_1, T_1, ϵ_1

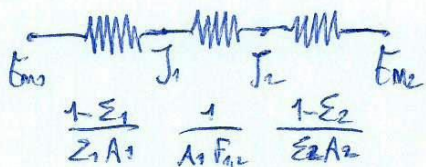
$$q_{1 \rightarrow 2} = A_1 \cdot F_{1,2} \cdot J_2$$

$$q_{2 \rightarrow 1} = A_2 \cdot F_{2,1} \cdot J_1$$

$$\Rightarrow q_{1 \rightarrow 2} = A_1 F_{1,2} J_2 - A_2 F_{2,1} J_1 = \\ = A_1 F_{1,2} (J_2 - J_1) \text{ per reciprocità}$$

$$\Rightarrow q_{1 \rightarrow 2} = \frac{J_2 - J_1}{\frac{A_1 F_{1,2}}{1}}$$

Con $\frac{1}{A_1 F_{1,2}}$ dovuto alla geometria. Recuperando l'analogo elettrico:



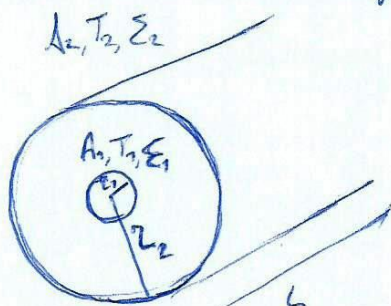
$$q_{1 \rightarrow 2} = \frac{T_{m1} - T_{m2}}{\frac{1-\epsilon_1}{\epsilon_1 A_1} + \frac{1}{A_1 F_{1,2}} + \frac{1-\epsilon_2}{\epsilon_2 A_2}} = \frac{Q(T_1^4 - T_2^4)}{\frac{1-\epsilon_1}{\epsilon_1 A_1} + \frac{1}{A_1 F_{1,2}} + \frac{1-\epsilon_2}{\epsilon_2 A_2}}$$

Casi particolari:

- piani paralleli indefiniti ($A_1 = A_2 = A$, $F_{1,2} = 1$):

$$q_{1,2} = \frac{A G (T_1^4 - T_2^4)}{\frac{1-\epsilon_1}{\epsilon_1} + 1 + \frac{1-\epsilon_2}{\epsilon_2}} = \frac{A G (T_1^4 - T_2^4)}{\frac{1}{\epsilon_1} + \frac{1}{\epsilon_2} - 1}$$

- cilindri concentrici indefiniti ($F_{1,2} = 1$):



$$A_1 = 2\pi r_1 L \quad A_2 = 2\pi r_2 L$$

$$q_{1,2} = \frac{G (T_2^4 - T_1^4)}{\frac{1-\epsilon_1}{\epsilon_1 A_1} + \frac{1}{A_1} + \frac{A_1}{A_2} \cdot \frac{1-\epsilon_2}{\epsilon_2 A_2}} = \\ = \frac{G A_2 (T_1^4 - T_2^4)}{\frac{1-\epsilon_1}{\epsilon_1} + 1 + \frac{A_1}{r_2} \cdot \frac{1-\epsilon_2}{\epsilon_2}} = \frac{G A_2 (T_1^4 - T_2^4)}{\frac{1}{\epsilon_1} + \frac{1-\epsilon_2}{\epsilon_2} \cdot \frac{r_1^2}{r_2^2}}$$

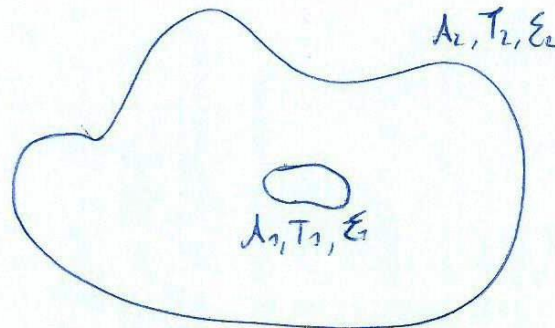
- sfere concentriche ($F_{1,2} = 1$):



$$A_1 = 4\pi r_1^2 \quad A_2 = 4\pi r_2^2$$

$$q_{1,2} = \frac{G A_1 (T_1^4 - T_2^4)}{\frac{1-\epsilon_1}{\epsilon_1} + 1 + \frac{A_1}{A_2} \cdot \frac{1-\epsilon_2}{\epsilon_2}} = \frac{G A_1 (T_1^4 - T_2^4)}{\frac{1}{\epsilon_1} + \frac{r_1^2}{r_2^2} \cdot \frac{1-\epsilon_2}{\epsilon_2}}$$

- corpo convesso di piccole dimensioni in una grande cavità ($F_{1,2} \approx 1$):



$$q_{1,2} = \frac{A_1 G (T_1^4 - T_2^4)}{\frac{1-\epsilon_1}{\epsilon_1} + 1 + \frac{1-\epsilon_2}{\epsilon_2} \cdot \frac{A_1}{A_2}} = \\ = \epsilon_1 A_1 G (T_1^4 - T_2^4)$$

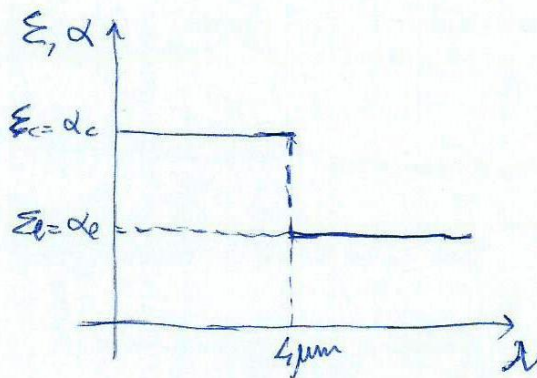
$$A_1 \ll A_2 \Rightarrow \frac{A_1}{A_2} \approx 0$$

Pareti e invecchiamento

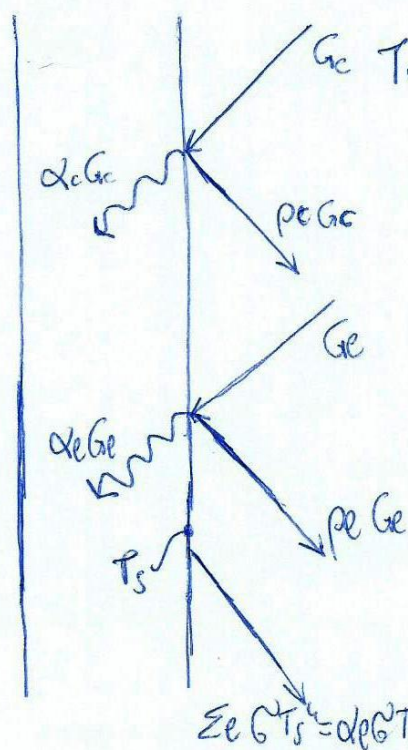
Concentriamoci sulle pareti soggette a invecchiamento. Permetta, ma che esistono due tipi di radiazione:

- a bassa lunghezza d'onda: G_c , $\lambda < 4\mu m$;
- ad elevata lunghezza d'onda: G_e , $4\mu m < \lambda < 100\mu m$

Graphicamente:



Consideriamo una parete e vediamo come esprimere il flusso termico per unità di superficie:



$$\begin{aligned} q'' &= h_{con}(T_s - T_e) + \alpha_e G T_s^4 - \alpha_e G T_e^4 - \alpha_c G_c \\ \Rightarrow q'' &= h_c(T_s - T_e) + \alpha_e G T_s^4 - \alpha_e G T_e^4 + \alpha_e G T_e^4 - \alpha_e G - \alpha_c G_c \\ &= h_c(T_s - T_e) + \alpha_e G (T_s^4 - T_e^4) - \alpha_e (G - G T_e^4) - \alpha_c G_c \end{aligned}$$

Ricordiamo che $h_{con} = h_{con} + h_{in} = h_{con} + \frac{\alpha_e G (T_s^4 - T_e^4)}{T_s - T_e} = h_{con} + \alpha_e G (T_s^2 + T_e^2)(T_s - T_e)$.

Oltre:

$$\begin{aligned} q'' &= h_c(T_s - T_e) + h_{in}(T_s - T_e) - \alpha_e (G - G T_e^4) - \alpha_c G_c \\ &= h_{in}(T_s - T_e) - \alpha_e (G - G T_e^4) - \alpha_c G_c \end{aligned}$$

Introducendo le temperature di area-area T_{as} nelle formule

che esprimono il flusso per unità di area, $q'' = h_e(T_s - T_{as})$ è uguale all'espressione di q'' trovata otteniamo:

$$\begin{aligned} h_{in}(T_s - T_{as}) &= h_{in}(T_s - T_e) - \alpha_e (G - G T_e^4) - \alpha_c G_c \\ \Rightarrow T_{as} &= T_e + \frac{\alpha_e}{h_{in}} (G - G T_e^4) + \frac{\alpha_c}{h_{in}} G_c \end{aligned}$$

Definendo $A = \frac{\alpha_e}{h_{\text{em}}}$ ($\text{Ge} - 5 \text{T}^4$), [$^{\circ}\text{C}$], si ha:

- per superficie orizzontale:

$$A = -4^{\circ}\text{C} \Rightarrow T_{\text{as}} = T_e - 4^{\circ}\text{C} + \frac{\alpha_e}{h_{\text{em}}} \cdot G_e$$

- per superficie verticale:

$$A \approx 0^{\circ}\text{C} \Rightarrow T_{\text{as}} = T_e + \frac{\alpha_e}{h_{\text{em}}} \cdot G_e$$

Validiamo h_{em} . Approssimiamo con:

$$h_{\text{em}} = \frac{\alpha_e G(T_s^4 - T_e^4)}{T_s - T_e} \approx 4,6 \cdot \alpha_e T_s^3$$

Valide se $(T_s - T_e)$ è piccola rispetto a $T_m = \frac{T_s + T_e}{2} \Rightarrow T_m \approx T_s$.

Exploriamo le cori come $h_{\text{em}} = 18,6 \cdot W^{-0,05}$ con:

- per superficie controvento:

$$W_1 = 0,25 \text{ W} \quad \text{se } W > 2 \text{ m/s}$$

$$W_1 = 0,5 \text{ W} \quad \text{se } W \leq 2 \text{ m/s}$$

- per superficie sofficiente:

$$W_1 = 0,3 \pm 0,05 \text{ W}$$

Con W velocità del vento.

Ossiamo così determinare h_{em} attraverso i suoi due costituenti h_{cor} e h_{em} . Possiamo in alternativa dare direttamente il valore di h_{em} in alcuni casi:

- per superfici verticali e orizzontali con flusso termico ascendente:

$$h_{\text{em}} = 23,2 \frac{\text{W}}{\text{m}^2 \text{K}} \quad \text{per } W \leq 4 \text{ m/s}$$

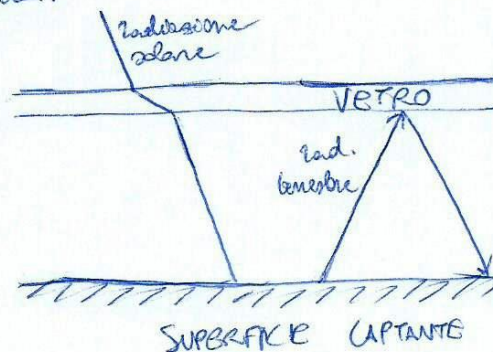
$$h_{\text{em}} = (2,3 + 10,5 W^{1/2}) \frac{\text{W}}{\text{m}^2 \text{K}} \quad \text{per } W > 4 \text{ m/s}$$

- per superfici orizzontali e flusso termico discendente:

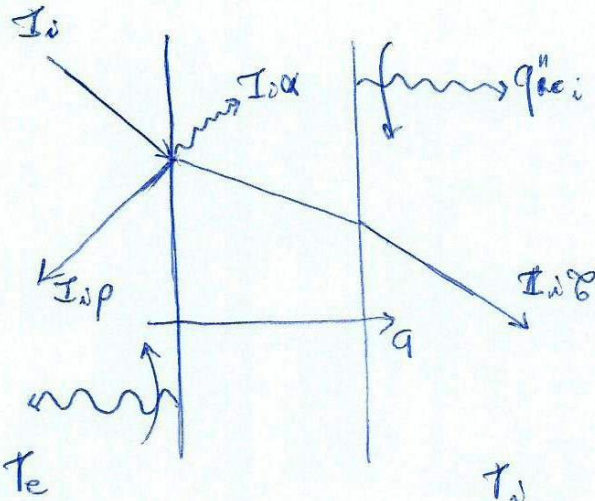
$$h_{\text{em}} = 16,3 \frac{\text{W}}{\text{m}^2 \text{K}} \quad \text{per } W \leq 4 \text{ m/s}$$

$$h_{\text{em}} = 0,7(2,3 + 10,5 W^{1/2}) \frac{\text{W}}{\text{m}^2 \text{K}} \quad \text{per } W > 4 \text{ m/s}$$

Possiamo ora alle pareti trasparente ($\epsilon_1 > 0$, $T_d + p_d + \alpha_d = 1$) che genera l'effetto seme!



Concentriamoci su ciò che avviene nelle pareti:



$$q'' = I_0 \bar{\lambda} + q''_{ref}$$

In cui:

$$q''_{ref} = \bar{K} (T_e - T_i) + N_i \alpha I_0$$

$$\text{Con } N_i = \frac{\bar{K}}{h_e} \text{ e } \bar{K} = \left(\frac{1}{h_e} + \frac{1}{h_i} \right)^{-1}$$

Dunque:

$$N_i = \frac{(h_e + h_i)^{-1}}{h_e} = \frac{h_i}{h_e + h_i}$$

Allora:

$$q'' = I_0 \bar{\lambda} + \bar{K} (T_e - T_i) + N_i \alpha I_0 = \bar{K} (T_e - T_i) + (N_i \alpha + \bar{\lambda}) I_0$$

Introducendo F , coefficiente di guadagno solare, $F = N_i \alpha + \bar{\lambda}$:

$$q'' = \bar{K} (T_e - T_i) + F I_0$$

Per il flusso dinto al Sole. Consideriamo un vetro di riferimento con coefficiente di guadagno solare standard $F_s = 0,87$ e:

$$\bar{\lambda} = 0,86$$

$$\rho = 0,08$$

$$\alpha = 0,06$$

Tali valori sono analoghi a raggi e perpendicolari al vetro. Per le altre condizioni usiamo lo shading coeff., SC :

$$SC = F/F_s \Rightarrow F = SC \cdot F_s$$

Però, in generale:

$$q'' = \bar{K} (T_e - T_i) + (N_i \alpha + \bar{\lambda}) I_0 = \bar{K} (T_e - T_i) + F I_0 = \\ = \bar{K} (T_e - T_s) + SC F_s I_0$$

Definiamo anche $F_s I_0 = FGS$, fattore di guadagno solare. Il suo valore si registrava in tabella in base alle fabbriche e a misurazioni fatte il vetro di ogni mese.